

个案报道

骶骨副神经节瘤1例报告

Paraganglioma of the sacrum: a case report

江军¹,张清²,鱼峰²,赵海涛²,陈兆军¹

(1 北京中医药大学第三附属医院骨科 100029 北京市;2 北京积水潭医院骨肿瘤科 100035 北京市)

doi:10.3969/j.issn.1004-406X.2013.12.15

中图分类号:R739.4

文献标识码:B

文章编号:1004-406X(2013)-12-1128-02

骨原发的副神经节瘤极罕见,其临床表现无特异性,易误诊。我科收治1例骶骨副神经节瘤患者,报道如下。

患者男性,42岁,因骶尾部疼痛不适3年于2006年11月入院,既往体健。查体:骶尾部皮肤颜色正常,未见毛发及色素沉着,皮温不高,未及肿块,局部压痛、叩痛明显。肛门指诊直肠后方触及3×4cm大小包块,质硬,无活动,压痛明显,手套未见染血。双髋关节活动正常,鞍区感觉无异常,肛周反射存在。双下肢感觉肌力无减退,膝、跟腱反射对称引出,病理征阴性。X线片示S3、S4溶骨破坏,边界不清。CT示S3、S4呈溶骨性、膨胀性破坏,其内可见点片状残留骨,病灶边界不清,周围可见软组织肿块(图1),增强后病灶呈不均匀强化。MRI示S3、S4局部膨胀性溶骨破坏,软组织肿块,病灶大小为5.5×5.0×6.2cm,呈T1低信号,T2中高信号,抑脂像为高信号,增强后强化明显。肺部CT未见异常,全身骨扫描示骶骨异常浓集灶,其余部位未见异常。行骶骨病灶穿刺活检病理提示“脊索瘤可能,需与转移瘤鉴别”。

在全麻下行骶骨肿瘤切除术。右侧卧位,骶后正中纵切口。显露骶骨,去除S1棘突及椎板,显露椎管。分离骶神经,见右侧S3、S4神经根进入肿瘤,S2神经根部分紧贴肿瘤,保留S2神经根,S2以下神经根全部切除。保留两侧骶髂关节,大块切除S2及以下骶尾骨,完整去除肿瘤。肉眼见肿瘤有包膜,剖面实性,色灰白,质韧,无明显出血或囊性变。仔细止血,冲洗缝合,放置负压引流管两根。术中血压平稳,出血量约3500ml,输入红细胞悬液1600ml。

术后入ICU病房,监测生命体征平稳,顺利拔除气管插管,继续输入红细胞悬液1200ml、血浆800ml。预防性应用抗生素、补液、对症支持治疗。使用气垫床,定时翻身。术后第4天、第10天分别拔除一根引流管,以头孢替安抗炎2周,最高体温为37.8℃(术后第2天)。术后患者诉会阴及右大腿麻木感,大便失禁,排尿困难。术后病理回报为“副神经节瘤”(图2)。术后2周拆线,切口愈合好。带尿管出院,术后1个月拔除尿管后可自行排尿。术后13个月复

查,患者无骶尾部疼痛症状,觉右腿乏力感,可规律排大便。术后72个月行X线片、骶骨加强CT检查未见复发(图3)。

讨论 起源于副神经节细胞的肿瘤称为副神经节瘤(paragangliomas)。副神经节瘤曾有“化学感受器瘤”、“嗜铬细胞瘤”等多种名称。目前比较一致的命名方法是:位于肾上腺髓质的副神经节瘤称为嗜铬细胞瘤,位于肾上腺外的副神经节瘤则依据解剖部位、功能状态或良、恶性等综合命名^[1]。迄今文献报告肾上腺外副神经节瘤的发生部位包括头颈部(颈动脉体、颈静脉球、迷走神经内、喉、舌、鼻腔、眼眶、软腭、甲状腺、气管、食管等)、胸腔(主动脉体、肺、后纵隔等)和腹盆腔(腹膜后主动脉旁、肠系膜根部、肾周、十二指肠、膀胱、胆囊、输尿管、精索、前列腺、子宫、阴道壁、卵巢、脊髓、马尾神经、脊椎骨、骶骨等)等组织器官^[2,3]。

文献检索发生于脊髓的副神经节瘤少见,约有150多例报道^[4,5];多数在腰椎,肿瘤可压迫邻近椎体致侵蚀性改变;但是骨原发的副神经节瘤报道极少。

副神经节瘤的病因不明,除缺氧等因素外,遗传因素不应忽视。分子生物学研究表明嗜铬细胞瘤1p、3p、17p和22q染色体上均有杂合性丢失存在^[6]。也有报道myc、fos和P53癌基因的表达或过表达^[6]。随着分子杂交等技术的运用,有望发现判断其生物学行为和预后估计的新指标。

副神经节瘤多见于中老年人,以40~60岁为好发,男、女发病无明显差异。不同的发病部位表现出不同的临床症状。多数为生长缓慢的无痛性肿块,肿瘤压迫周围组织可引起一些继发症状。骨原发的副神经节瘤极罕见,其临床表现无特异性,容易误诊。本例患者有轻度的骶尾部疼痛不适,伴有排便困难,无下肢感觉肌力减退。

病理镜下可见肿瘤的组织结构非常具有特征性:瘤细胞排列成条索、腺样或巢状结构;巢与巢之间为开放或闭锁的血窦,此结构被称为“器官样”或“细胞球”结构,网状纤维染色可清楚显示这一特殊结构的轮廓。本例患者病理学表现较为典型。此外,少数病例可见肿瘤细胞排列成假菊形团样或肉瘤样结构^[7]。

骶骨的溶骨病变需与以下疾病鉴别:脊索瘤、骨巨细胞瘤、转移瘤、软骨肉瘤、动脉瘤样骨囊肿、神经纤维瘤、神经鞘瘤、骨母细胞瘤、类癌、淋巴瘤、血管外皮细胞瘤、多发

第一作者简介:男(1978-),主治医师,研究方向:脊柱外科
电话:(010)52075384 E-mail:jackjiang7877@hotmail.com
通讯作者:陈兆军 E-mail:zhaojunchen66@yahoo.com.cn

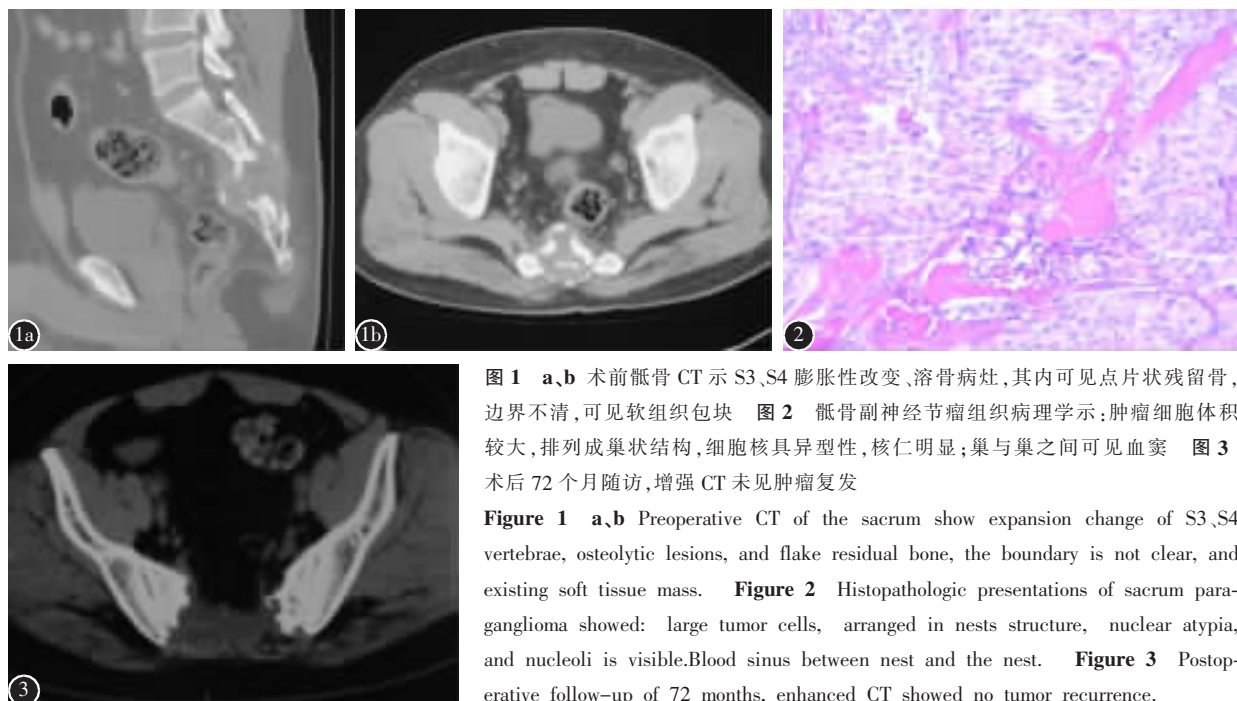


图1 a、b 术前骶骨CT示S3、S4膨胀性改变、溶骨病灶,其内可见点片状残留骨,边界不清,可见软组织包块 图2 骶骨副神经节瘤组织病理学示:肿瘤细胞体积较大,排列成巢状结构,细胞核具异型性,核仁明显;巢与巢之间可见血窦 图3 术后72个月随访,增强CT未见肿瘤复发

Figure 1 a,b Preoperative CT of the sacrum show expansion change of S3,S4 vertebrae, osteolytic lesions, and flake residual bone, the boundary is not clear, and existing soft tissue mass. **Figure 2** Histopathologic presentations of sacrum paraganglioma showed: large tumor cells, arranged in nests structure, nuclear atypia, and nucleoli is visible.Blood sinus between nest and the nest. **Figure 3** Postoperative follow-up of 72 months, enhanced CT showed no tumor recurrence.

性骨髓瘤、软骨母细胞瘤、室管膜瘤等。本例患者应特别注意与脊索瘤鉴别:脊索瘤常见于40~70岁患者,男女比率约2:1,病史可长达数年。影像学见病灶位于S3以下,溶骨破坏,一般向前方呈膨胀性生长。而本例向腹侧及骶管内均凸出软组织肿块。恶性副神经节瘤发生率约10%左右,大约98%的恶性副神经节瘤为腹膜后副神经节瘤。副神经节瘤的病理组织形态和生物学行为不一致,单纯从病理形态学角度来判断肿瘤的良、恶性有一定困难和片面性。目前多数学者认为,发生转移是诊断恶性的唯一可靠指标^[8]。

完整切除肿瘤是主要的治疗手段。边缘切除可以获得满意疗效,囊内切除复发率高。本例患者肿瘤予以边缘切除,术后72个月随访无复发。对于不完全切除、囊内切除或复发的病例,需要放疗。但是放疗效果有限,有报道4例行术后放疗患者,其中3例在3~12年后复发^[3,9]。

参考文献

- Glenner GG, Grimley PM. Atlas of Tumor Pathology [M]. Washington: Armed Forces Institute of Technology, 1974. 1-90.
- 张天泽,徐光炜.肿瘤学[M].天津:天津科技出版社,1996. 1141-1854.
- George CM, Athanassios PK, Konstantinos SP. Cauda equina paraganglioma: a review[J]. J Neuro Oncology, 2003, 65(2):

177-178.

- 矫淑娟,孙清荣,陈垦.腰4椎体恶性副神经节瘤1例[J].第三军医大学学报,2001, 23(3): 428.
- Chad PC, David IA, Michael G, et al. Intraosseous paraganglioma of the sacrum: a case report[J]. Canadian Journal of Surgery, 2000, 43(5): 137-139.
- Goto K. Expression of c-fos and c-myc protooncogenes in human adrenal pheochromocytomas [J]. J Clin endocrinol metab, 1990, 70(11): 353-356.
- Lack EE. Paragangliomas of the head and neck region: a pathologic study of tumors from 71 patients [J]. Hum pathol, 1979, 10(12): 191-218.
- Linnoila RI. Histopathology of benign versus malignant sympathetic-adrenomedullary paragangliomas: clinicopathologic study of 120 cases including unusual histologic features [J]. Hum Pathol, 1990, 21(7): 1168-1180.
- Sonneland PRL, Scheithauer BW, Lechago J, et al. Paraganglioma of the cauda equina region: clinicopathologic study of 31 cases with special reference to immunocytoLOGY and ultrastructure[J]. Cancer, 1986, 58(5): 1720-1735.

(收稿日期:2013-01-17 末次修回日期:2013-08-22)

(本文编辑 彭向峰)